

# ارائه‌ی الگوریتم جستجوی ممنوع با استراتژی تنوع برای حل مسئله‌ی چیدمان پویای تسهیلات

نجمه بزرگی (کارشناس ارشد)

مصطفی عابدزاده<sup>\*</sup> (استادیار)

دانشکده‌ی هندسی صنایع، دانشگاه خواجه نصیرالدین طوسی

مهمشی  
صایع و مدیریت شرکت، (آستانه ۱۳۹۴) دری ۱ - ۳، شماره ۲ / ۱۰ ص. ۱۵۶-۱۱۰ (پادشاه قفقاز)

در ارتباط با «مسئله‌ی چیدمان تسهیلات» تحقیقات زیادی صورت گرفته است. هدف آن یافتن موقعیت دپارتمان در سطح کارخانه برای دوره‌های زمانی است، به گونه‌یی که دپارتمان‌ها همپوشان نداشته باشند و مجموع هزینه‌ی جابه‌جایی و چیدمان مجدد کمینه شود. به منظور اطمینان از عملکرد خوب سیستم تولیدی باید تغییرات پارامترهای مسئله در طی زمان در نظر گرفته شود. با توجه به پویابدن تسهیلات تولیدی، مسئله‌ی چیدمان تسهیلات در حالت ایستا یک سناریوی واقعی نیست. در این مقاله مسئله‌ی چیدمان پویای تسهیلات با فرض تساوی مساحت دپارتمان‌ها به‌وسیله‌ی الگوریتم فراابتکاری جستجوی ممنوع با استراتژی تنوع - شامل ساختار حافظه مبتنی بر تکرار، تابع جریمه و لیست ممنوع پویا - حل شده است. رویکرد پیشنهادی با دو مجموعه داده شاخص و معروف از ادبیات موضوع ارزیابی شده است. نتایج به دست آمده حاکی از آن است که الگوریتم پیشنهادی در مقایسه با الگوریتم‌های قبلی عملکرد بهتری داشته و در بیشتر موارد جواب‌های بهتری ارائه داده است.

**واژگان کلیدی:** مسئله‌ی چیدمان پویای تسهیلات، جستجوی ممنوع، لیست ممنوع پویا، استراتژی تنوع.

## ۱. مقدمه

مسئله‌ی استقرار تسهیلات به تعیین مؤثرترین آرایش دپارتمان درون یک کارخانه یا سیستم اداری می‌پردازد. محققین در مورد تعریف دقیق و رایج مسائل چیدمان توافق ندارند؛ برخی مسئله‌ی چیدمان تسهیلات را شامل آرایستن *n* تسهیل با مساحت نابرابر در یک فضای مفروض می‌دانند به گونه‌یی که در محدوده‌ی طول و عرض کارخانه بگنجد و هزینه‌ی کل حمل و نقل مواد و هزینه‌ی فضای از دست رفته را نیز کمینه سازد. عده‌ی دیگر نیز آن را یک مسئله‌ی بهینه‌سازی می‌دانند، به نحوی که با در نظر گرفتن سیستم جریان مواد و تعاملات مختلف بین تسهیلات هنگام طراحی چیدمان، چیدمان‌هایی کارا ایجاد کند.<sup>[۱]</sup> ساده‌ترین مورد مسئله‌ی استقرار دپارتمان‌ها (FLP)<sup>۱</sup>، مسئله‌ی استقرار دپارتمان‌ها با اندازه یکسان است، به طوری که مقدار جریان مواد میان هر جفت دپارتمان در طول برنامه‌ریزی محدود می‌باشد. این مسئله مسئله‌ی استقرار دپارتمان (SFLP)<sup>۲</sup> با دپارتمان‌های یکسان خوانده می‌شوند که در سال ۱۹۷۵ به صورت مسائل تخصیص درجه دو (QAP)<sup>۳</sup> فرمول بندی شد.<sup>[۲]</sup> در این مدل کف کارخانه به گردیدهایی با مستطیل‌های یکسان (مکان‌ها) تقسیم می‌شوند. در واقع مسئله اخلاقی دپارتمان‌ها به مکان‌هایی که هیچ دو دپارتمانی به یک مکان مشابه زمان کل تولید، بهره‌برداری مؤثر از اندازه دپارتمان‌ها کاهش یا افزایش می‌یابد.<sup>[۴]</sup>

رایج ترین معیار مورد استفاده برای تعیین کارآیی استقرار تسهیلات کمینه سازی هزینه‌ی انتقال مواد است. افزون بر آن، هدف‌های مهم دیگری نیز برای ارزیابی استقرار تسهیلات در نظر گرفته شده است: کمینه سازی سرمایه‌گذاری تجهیزات، کمینه سازی سازمانی، حفظ انعطاف‌پذیری عملیات و آرایش تسهیلات، کمینه سازی تنوع در نوع تجهیزات حمل و نقل، ایجاد آسودگی کارکنان، ایمنی و محیط کار راحت،<sup>[۵]</sup> و نیز ارتقاء بهره‌برداری مؤثر از نیروی انسانی.<sup>[۶]</sup>

\* نویسنده مسئول

تاریخ: دریافت ۲۹/۱۱/۱۳۹۰، اصلاحیه ۱۱/۱، پذیرش ۲۸/۲/۱۳۹۲.

دارای شکل متغیر و مساحت نابرابر توسعه داده‌اند. نویسنده‌گان از ساختار نواری منعطفی که توسط تانگ (۱۹۹۱) توسعه داده شده برای ایجاد استقرار استفاده کرده‌اند. مساحت کف کارخانه در یک جهت به نوارهایی با عرض‌های مختلف تقسیم می‌شود؛ دپارتمان‌ها در میان این نوارها اختصاص می‌یابند.<sup>[۱۷]</sup> دانکر و همکاران (۲۰۰۳) نیز از الگوریتم ژنتیک برای حل FLP با دپارتمان‌های هم‌شکل و مساحت نابرابر بهره برده‌اند.<sup>[۱۸]</sup>

در سال ۲۰۰۵ الگوریتمی برای حل DFLP با مساحت‌های نابرابر و با استفاده از الگوریتم ژنتیک پیشنهاد شد. نگارنده از تحلیل و ریاضی آماری برای یافتن بهترین اندازه سایت چیزیش استفاده کرده است. علاوه بر این از قاعده‌یی بر مبنای سیستم خبره دپارتمان‌های دارای مساحت نابرابر در یک فضای پیوسته‌ی بدون هم‌پوشانی متصل به هم استفاده شده است.<sup>[۱۹]</sup>

اسکورین کاپو (۱۹۹۰) اولین کسی بود که الگوریتم جستجوی ممنوع را برای حل SFLP به کار برد. این الگوریتم توسط گاور (۱۹۸۹) معرفی شد<sup>[۲۰]</sup> و سپس چیانگ و کوالیس (۱۹۹۶) اجرای جدیدی از آن را برای حل QAP معرفی کردند.<sup>[۲۱]</sup> این الگوریتم استراتژی لیست ممنوع با اندازه پویا، واستراتژی تبع و شدت که در برگیرنده تابع جریمه است، را شامل می‌شود. بعد‌ها محققین از الگوریتم‌های جستجوی ممنوع احتمالی، شبیه‌سازی تبرید، و جستجوی ممنوع هیبریدی برای حل QAP استفاده کردند.<sup>[۲۲]</sup> کاکو و مازولا (۱۹۹۷) الگوریتم جستجوی ممنوع را برای DFLP به کار برده‌اند؛ هیوریستیک TS از یک فریند افزایشی و تنویرسازی تشکیل شده است.<sup>[۲۳]</sup> محققان هیوریستیک جستجوی ممنوع بر مبنای درخت برش و مختصی مزی را ارائه داده‌اند که هدف آن کمینه‌سازی هزینه‌ی جریان است. درخت برش ارائه شده تسهیلات با شکل ثابت و تسهیلات با شکل منعطف را با استفاده از مختصی مزی با هم تلفیق کرده است.<sup>[۲۴]</sup> مکنال و هاکوبیان (۲۰۱۰) نیز هیوریستیک جستجوی ممنوع را برای حل DFLP با دپارتمان دارای مساحت نابرابر به کار برده‌اند. نگارنده چرخش دپارتمان‌ها را آزاد (افقی، عمودی) و فضای حل مسئله را پیوسته در نظر گرفته‌اند.<sup>[۲۵]</sup>

هیراگو و آلفا (۱۹۹۲) الگوریتم SA هیبریدی را برای حل FLP به کار برده‌اند. آن‌ها از الگوریتم جریمه<sup>۱</sup> برای تولید جواب اولیه استفاده کرده‌اند و سپس جواب حاصل را با استفاده از SA بهبود بخشدیده‌اند. نتایج به دست آمده نشان می‌دهد که الگوریتم هیبریدی SA در مقایسه با الگوریتم SA بهتر عمل می‌کند.<sup>[۲۶]</sup> با پاسکو و گیندی (۲۰۰۱) اولین کسانی بودند که الگوریتم شبیه‌سازی تبرید را برای DFLP به کار برند.<sup>[۲۷]</sup> مکنال و همکاران (۲۰۰۶) نیز دو هیوریستیک شبیه‌سازی تبرید را برای مسئله استقرار تسهیلات پویا معرفی کرده‌اند. اولین هیوریستیک (هیوریستیک SAI) یک هیوریستیک SA رو به جلو است. هیوریستیک نوع دوم هیوریستیک خوانده می‌شود، که استراتژی رو به عقب یا رو به جلو را به هیوریستیک نوع SAII اول اضافه می‌کند. تمام گام‌های اجرایی آن مشابه SAI است به غیر از گام پنجم که در آن استراتژی رو به عقب و جلو را اعمال می‌کند.<sup>[۲۸]</sup> کاپوسامی (۲۰۰۱) سه نوع هیوریستیک SA برای DFLP ارائه داد؛ در اولین هیوریستیک الگوریتم شبیه‌سازی تبرید مستقیماً اجرای می‌شود؛ در دوین هیوریستیک از استراتژی حرارت دهنده از برای شبیه‌سازی تبرید استفاده می‌شود؛ و در سومین هیوریستیک الگوریتم شبیه‌سازی تبرید، مفهوم پنجه‌های زمانی و روش تعویض جفتی رو به عقب با هم ترکیب می‌شود.<sup>[۲۹]</sup> دانگ و همکاران (۲۰۰۹) روشی جدید برای حل مسئله‌ی چیدمان پویای تسهیلات تحت شرایط محیطی پویا معرفی کرده‌اند. ممکن است با معرفی یک محصول جدید افزودن ماشین جدیدی به خط تولید ضرورت یابد، یا با تغییر در روند تولید محصول نیازمند از رده خارج کردن ماشین‌های موجود از خط تولید

اهداف مهم دیگر عبارت‌اند از: بیشینه‌سازی معیار مجاورت و همسایگی، کمینه‌سازی هزینه‌ی تخصیص دپارتمان‌ها به مکان‌ها، کمینه‌سازی زمان حرکت مواد بین دپارتمان‌ها،<sup>[۲۰]</sup> برآوردن نیازهای طراحی و ظرفیت محصول و سازگار ساختن کارخانه با تغییرات آینده.<sup>[۲۱]</sup>

چنان‌که پیش‌تر بیان شد، در سال ۱۹۵۷ برای نخستین بار مسئله‌ی چیدمان تسهیلات با دپارتمان‌های دارای مساحت یکسان، با استفاده از مسئله‌ی تخصیص درجه دو (QAP) فرموله شد.<sup>[۲۲]</sup> کاربردهای گسترده‌ی در برنامه‌ریزی شهری، استقرار پاله‌های کترولی و طراحی سیم دارد؛ این مسئله هر دپارتمان را به یک مکان تخصیص می‌دهد.<sup>[۲۳]</sup> برخی از محققین برای حل QAP از روش تعویض جفتی استفاده کرده‌اند.<sup>[۲۴]</sup> در هر تکرار این هیوریستیک دو مرکز کاری (دپارتمان) همسایه را برای تعویض مکان‌هایشان کاندید می‌کند. این الگوریتم در نهایت جفت‌هایی را انتخاب می‌کند که بیشترین مقدار بهبود را در تابع هدف داشته باشد. این الگوریتم زمانی متوقف می‌شود که دیگر بهبودی در تابع هدف ایجاد نشود. مسئله‌ی استقرار تسهیلات با مساحت نابرابر، با در نظر گرفتن حالت گسته به صورت مسائل پوششی درجه دو فرمول بندی<sup>[۲۵]</sup> و برای حل مسئله یک الگوریتم شاخه و کرانه بهبود داده شده است.<sup>[۲۶]</sup> در سال ۱۹۸۹ یک برنامه‌ریزی مختلط عدد صحیح برای حالت پیوسته مسئله‌ی چیدمان تسهیلات با دپارتمان‌های دارای مساحت نابرابر ارائه شد که در آن برای هر دپارتمان از دو متغیر صفر و یک<sup>۲</sup> استفاده شده است.<sup>[۲۷]</sup> در سال ۲۰۰۰ نیز یک فرمول برنامه‌ریزی خطی مختلط عدد صحیح (MILP)<sup>۳</sup> و یک هیوریستیک دوفازی برای حل مسئله‌ی استقرار تسهیلات با دپارتمان‌های دارای مساحت نابرابر معرفی شد، بهگونه‌یی که در آن چهار شکل متفاوت برای حالت درنظر گرفته شد.<sup>[۲۸]</sup> رزنیلات (۱۹۸۶) اولین فردی بود که مسئله‌ی چیدمان پویای تسهیلات (DFLP)<sup>۴</sup> با دپارتمان‌های همندازه را معرفی کرد. هدف او کمینه‌سازی مجموع هزینه‌ی جابه‌جایی مواد و بازاریابی بوده است. او هزینه‌ی بازاریابی مجدد را در نظر گرفت که به بازاریابی از یک چیشن (A<sub>k</sub>) به چیشن دیگر (A<sub>m</sub>) در c<sub>km</sub> مربوط می‌شود. نگارنده از این روش برای حل این مسئله بهره برده است.<sup>[۲۹]</sup> در پاره‌یی از مطالعات از برنامه‌ریزی خطی (LP) برای حل چیدمان پویای تسهیلات (DFLP) با دپارتمان‌های غیرهم‌شکل و با مساحت نابرابر استفاده شده است.<sup>[۲۱]</sup> در پاره‌یی دیگر فرمول برنامه‌ریزی عدد صحیح را با استفاده از پنجه‌های زمانی برای حل مسئله‌ی چیدمان‌های هم‌شکل و با مساحت نابرابر به کار برده‌اند. هر پنجه‌یی DFLP با دپارتمان‌های هم‌شکل و با مساحت نابرابر به کار برده‌اند. هر پنجه‌یی زمانی شامل یک تعداد دوره‌های زمانی است که جریان مواد میان دپارتمان‌ها در این دوره با هم ادغام می‌شود. نویسنده‌گان یک سری SFLP را برای هر پنجه‌یی زمانی اتفاق با استفاده از MILP حل می‌کنند. بازاریابی چیدمان در ابتدای دوره‌ی زمانی اتفاق می‌افتد و طول این پنجه‌های زمانی بر مبنای انجام موازنه بین هزینه‌ی جابه‌جایی مواد و هزینه‌ی بازاریابی ماشین‌آلات تعیین می‌شود.<sup>[۲۱]</sup> محققین هیوریستیک جدیدی برای حل مسائل استقرار پویا ارائه داده‌اند که شامل ۳ فاز است. در اولین فاز مجموعه‌ی ماندگار<sup>۵</sup> از استقرار تعیین می‌شود؛ در دومین فاز از برنامه‌ریزی پویا برای حل مسئله‌ی کوتاه‌ترین مسیر برای تمام مجموعه‌ی ماندگار استفاده می‌شود؛ و در فاز سوم از روش تعویض جفتی و استراتژی معکوس برای جستجو در جواب‌های به دست آمده از مرحله دوم استفاده می‌شود. آزمایشات عددی برای مسئله‌ی ۴۸ دپارتمان حل شده است. الگوریتم پیشنهادی مسئله‌ی چیدمان پویای تسهیلات (DFLP) را در یک زمان منطقی حل می‌کند و جواب با کیفیت مشابه دیگر روش‌ها را به دست می‌آورد.<sup>[۲۱]</sup>

تیت و اسمیت (۱۹۹۵) الگوریتم ژنتیک را برای حل FLP با دپارتمان‌های

$$Y_{ijlt} = X_{ij(t-1)} * X_{ilt}, \quad i, j, l = 1, \dots, N, \quad t = 1, \dots, T \quad (4)$$

$$X_{ijt}, Y_{ijlt} = \{0, 1\}, \quad i, j = 1, \dots, N, \quad t = 1, \dots, T \quad (5)$$

که در آن  $N$  تعداد دپارتمان‌ها و مکان‌ها،  $T$  تعداد دوره‌های زمانی،  $A_{ijlt}$  هزینه‌ی جابه‌جایی دپارتمان از مکان  $j$  به  $l$  در دوره  $t$ ، و  $C_{ijklt}$  هزینه‌ی جابه‌جایی مواد میان دپارتمان  $i$  که در مکان  $j$  قرار گرفته و دپارتمان  $k$  که در مکان  $l$  قرار گرفته در دوره  $t$  است. دو متغیر صفر و ۱  $X_{ijt}$  و  $Y_{ijlt}$  چنین تعریف می‌شود:

$Y_{ijlt}$ : اگر دپارتمان در ابتدای دوره زمانی  $t$  از مکان  $j$  به مکان  $l$  جابه‌جا شود مقدار ۱ و در غیر این صورت مقدار صفر خواهد داشت.

$X_{ijt}$ : اگر دپارتمان  $i$  در ابتدای دوره زمانی  $t$  به مکان تخصیص یابد مقدار ۱ و در غیر این صورت مقدار صفر خواهد داشت.

تابع هدف برای کمینه‌سازی مجموع هزینه‌ی بازاری و هزینه‌ی جریان میان دپارتمان‌ها استفاده می‌شود. محدودیت اول تضمین می‌کند که هر مکان فقط به یک دپارتمان در هر دوره اختصاص داده شده، و محدودیت دوم تضمین می‌کند که دقیقاً یک دپارتمان به هر مکان در هر دوره اختصاص یافته است. محدودیت سوم کمک می‌کند تا اگر دپارتمان‌ها در مکان‌های معین در دوره‌های متوالی جابه‌جا شد، هزینه‌ی بازاری به تابع هدف اضافه شود. در این مدل جریان میان دپارتمان‌ها، فاصله‌ی میان مکان‌ها و هزینه‌ی بازاری به عنوان ورودی در نظر گرفته می‌شود.

### ۳. «جستجوی ممنوع» پیشنهادی

جستجوی ممنوع روشی عمومی است که در سال ۱۹۸۹ توسط گلور <sup>۱۰</sup> پیشنهاد شد. این روش براساس جستجوی همسایه بنا شده است. در این روش عملکرد حافظه‌ی انسان شبیه‌سازی شده است. حافظه‌ی انسان با بهکارگیری ساختمانی مؤثر و در عین حال ساده از اطلاعات، آنچه را در قبل رؤیت شده ذخیره می‌کند. این مرکز همچنین فهرستی از حرکات منع شده را تنظیم می‌کند و این فهرست همواره براساس آخرین جستجوها منظم می‌شود. این روش از انجام هرگونه عملیات مجدد و تکراری جلوگیری می‌کند. در رویکرد پیشنهادی ابتدا یک چیدمان اولیه به طور تصادفی ایجاد می‌شود؛ به عنوان مثال با فرض داشتن ۴ دپارتمان و ۲ دوره، دپارتمان اول به طور تصادفی در مکان ۲ از دوره اول و دپارتمان ۲ در مکان ۱ قرار می‌گیرد و به همین منوال ۴ دپارتمان در ۲ دوره استقرار می‌یابند. بعد از ایجاد جواب اولیه، هزینه محاسبه می‌شود. سپس در هر تکرار همسایگی‌های لازم برای حرکت انتخاب می‌شود. جواب حاصل به عنوان جواب اولیه برای تکرار بعد در نظر گرفته می‌شود. این روند ادامه می‌یابد تا شرایط توقف احراز شود و الگوریتم خاتمه یابد. فلوجارت الگوریتم پیشنهادی در شکل ۱ نشان داده شده است.

#### ۳.۱. نمایش جواب

نمایش جواب برای DFLP چنین تعریف شده است:

$$\pi = (\pi^1, \pi^2, \dots, \pi^T)$$

باشیم. نگارندگان مسئله‌ی هیوریستیک اضافه و حذف مашین‌ها، از الگوریتم حراج برای حل مسئله‌ی کوتاه‌ترین مسیر و از الگوریتم شبیه‌سازی تبرید برای بهبود جواب تولید شده استفاده کرده‌اند.<sup>[۲۹]</sup>

دوریگو (۱۹۹۶) اولین کسی بود که الگوریتم کلونی مورچگان را برای مسئله‌ی فروشنده دوره‌گرد به کار برداشت. گامبرلا و همکاران (۱۹۹۹) سیستم مورچگان هیبریدی HAS-QAP را برای حل QAP ارائه داده‌اند. HAS-QAP یک هیوریستیک از نوع بهبوددهنده است (ونه از نوع سازنده‌ی آن) و با هیوریستیک سنتی مورچگان تفاوت دارد.<sup>[۳۰]</sup> مکنال و شانگ (۲۰۰۶) سه سیستم هیبریدی مورچگان (HAS) را برای حل DFLP با دپارتمان‌های هم‌اندازه معرفی کرده‌اند. اولین تکنیک (HASI) نسخه‌ی اصلاح شده‌ی سیستم هیبریدی مورچگان است که توسط گامبرلا و همکاران (۱۹۹۹) برای حل QAP ارائه شده است؛ دو مین تکنیک (HASII) اصلاح شده‌ی تکنیک نخست (HASI) است که الگوریتم شبیه‌سازی تبرید را جایگزین هیوریستیک تعویض جفتی می‌کند؛ و در نهایت سومین تکنیک (HASIII) اصلاح شده‌ی HAS است که استراتژی رو به عقب و جلو را به هیوریستیک تعویض جفتی اضافه می‌کند.<sup>[۳۱]</sup> با یکاسکو و همکاران (۲۰۰۶) از الگوریتم کلونی مورچگان برای حل DFLP استفاده کرده‌اند. نویسنده‌گان محدودیت بودجه را نیز در نظر گرفته‌اند و نتایج امیدبخشی از آزمون آن به دست آورده‌اند.<sup>[۳۲]</sup> الگوریتم پیشنهادی کماردین و وانگ (۲۰۰۹) از روش درخت برش برای نمایش مسئله و از چندین نوع جستجوی محلی برای بهبود مسئله‌ی ارائه شده استفاده کرده‌اند. این اولین بار است که الگوریتم کلونی مورچگان برای FLP با مساحت نابرابر استفاده می‌شود.<sup>[۳۳]</sup>

در این مقاله مسئله‌ی چیدمان پویا با رویکرد جستجوی ممنوع، با در نظر گرفتن استراتژی نوع حل شده است. در بخش دوم مدل ریاضی مسئله‌ی چیدمان پویا با در نظر گرفتن دپارتمان‌های مساوی نشان داده شده و در بخش سوم الگوریتم پیشنهادی جستجوی ممنوع ارائه شده است. بخش چهارم نتایج عددی الگوریتم مورد استفاده را برای دو مجموعه داده شاخص و معروف از ادبیات موضوع نشان می‌دهد. بخش پنجم نیز به نتیجه‌گیری مبحث پرداخته است.

## ۲. مدل ریاضی مسئله

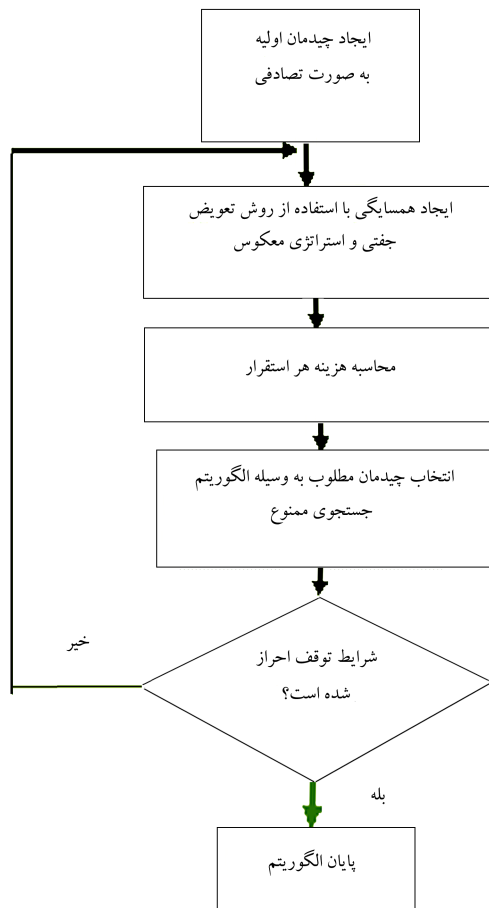
مدل ریاضی مسئله‌ی چیدمان پویای تسهیلات با دپارتمان‌های مساوی، به صورت تعیین مدل سازی مسئله‌ی تخصیص درجه دوم است. با این تفاوت که در آن  $t$  اندیس زمان است و هزینه‌ی بازاری بنا شده دپارتمان‌ها در دو دوره متوالی در نظر گرفته می‌شود. مدل ریاضی این مسئله عبارت است از:

$$\begin{aligned} \text{Minimiz cos } t = & \sum_{i=1}^N \sum_{j=1}^N \sum_{l=1}^N \sum_{t=1}^N A_{ijlt} Y_{ijlt} \\ & + \sum_{i=1}^N \sum_{j=1}^N \sum_{k=1}^N \sum_{l=1}^N \sum_{t=1}^N C_{ijklt} X_{ijt} X_{klt} \end{aligned} \quad (1)$$

Subject

$$\sum_{j=1}^N X_{ijt} = 1, \quad i = 1, \dots, N, \quad t = 1, \dots, T \quad (2)$$

$$\sum_{i=1}^N X_{ijt} = 1, \quad j = 1, \dots, N, \quad t = 1, \dots, T \quad (3)$$



شکل ۱. فلوچارت رویکرد پیشنهادی.

### ۳.۳. استراتژی تنوع

استراتژی تنوع که در این مقاله مورد استفاده قرار گرفته شامل ساختار حافظه مبتنی بر تکرار<sup>۱۲</sup>، تابع جریمه<sup>۱۳</sup> برای حرکات غیر بهبوددهنده و لیست پویای ممنوع<sup>۱۴</sup> به عنوان استراتژی حافظه نزدیک است. جزئیات هرکدام از این استراتژی‌های در ادامه آورده شده است.

### ۴.۳. حافظه‌ی مبتنی بر تکرار

ساختار حافظه‌ی مبتنی بر تکرار برای حفظ کدن رد حرکات تکراری به کار گرفته می‌شود. اطلاعات در مثیل پایینی آرایه ممنوع ( $tabu[i][j][k]$ ) در جایی که  $I > k$  و  $J < i$  و  $K < j$  ثبت می‌شود. مقدار  $tabu[t][i][k]$  زمانی که  $t > I$  باشد، نشان‌گر تعداد دفعاتی است که مکان دپارتمان‌های  $i$  و  $k$  در دوره  $t$  به عنوان بهترین حرکت قابل قبول انتخاب شده است. یک نمونه از لیست ممنوع که برای حافظه‌ی مبتنی بر تکرار استفاده می‌شود در شکل ۳ نشان داده است. در این شکل ممنوعه‌ی  $(1, 1, 4, 2)$  در دوره ۱ ایجاد شده است که نشان می‌دهد دپارتمان ۱ و ۴ در دوره ۱ یک‌بار عوض شده است.

۱	۲	۳	۴
۲			
۳			
۴	۱		

شکل ۳. لیست ممنوع با ساختار حافظه‌ی مبتنی بر تکرار.

۲	۳	۱	۴
$t=1$			

۱	۲	۳	۲
$t=2$			

شکل ۲. جواب DFLP با چهار دپارتمان و ۲ دوره.

در حالی که  $\pi$  جواب برای DFLP و  $\pi^t$  استقرار در دوره  $t$  باشد داریم:

$$\pi = (\pi^{t_1}(1), \pi^{t_2}(2), \dots, \pi^t(N))$$

که در آن،  $(i)^t$  مکان دپارتمان  $i$  در دوره  $t$  تعداد دوره‌ها، و  $N$  تعداد دپارتمان‌هاست.

به طور مثال جواب DFLP با ۴ دپارتمان و ۲ دوره ( $T = 2, N = 4$ ) که در

شکل ۲ مفروض است چنین نشان داده می‌شود.

$$\pi = ((3, 1, 2, 4), (3, 4, 2, 1))$$

### ۲.۳. ساختار همسایگی

تکنیک جست‌وجوی محلی که در هیوریستیک جست‌وجوی ممنوع مورد استفاده قرار می‌گیرد، «تعویض جفتی کاهشی» است. ایده اصلی این هیوریستیک، یافتن بهترین جواب تعویض جفتی در همسایگی جواب فعلی است. بنا براین تمام تغییرات

است، ولی در دوره‌های مختلف یکسان است. دومین مجموعه داده که از لکسن و انسکور اتخاذ شده، دارای مسائلی با اعداد ۶، ۱۲، ۲۰ و ۳۵ دپارتمان و دارای ۳ و ۵ دوره است. هریک از این مسائل دارای ۴ سری مسئله‌اند و بنابراین ۳۲ مسئله در این مجموعه داده وجود دارد. هزینه‌ی بازاری دپارتمان‌ها برای تمام دپارتمان‌ها و در تمام دوره‌ها یکسان در نظر گرفته شده است.

برای مجموعه داده اول پس از ۵ بار اجرای الگوریتم پیشنهادی با استراتژی تنوع، بهترین جواب از نتایج به دست آمده به همراه بهترین جواب حاصل از هیوریستیک TS استراتژی تقویت/گسترش (TSAII) و هیوریستیک احتمالی (PTS) — که توسط مکندها و لیو (۲۰۰۵) ارائه شده — در جداول ۲ و ۳ نشان داده شده است. علاوه بر الگوریتم‌های ارائه شده توسط بایکاسگو و گیندی (۲۰۰۱) که از الگوریتم SA استفاده کرده‌اند، الگوریتم GA بلکریشنان و همکاران<sup>[۲۰۰۳]</sup> (۲۰۰۳) اول و همکاران<sup>[۲۰۰۳]</sup> (۲۰۰۳) رویکرد برنامه‌ریزی پویا را به کار برده‌اند (DP)، مکندها و شانگ (۵) سیستم هیبرید مورچگان (HAS) را ارائه داده‌اند و مکندها و همکاران<sup>[۲۰۰۵]</sup> (۲۰۰۵) هیوریستیک SA را ارائه داده‌اند. بهترین جواب حاصل از دیگر الگوریتم‌ها در زیر ستون بهترین جواب آمده است. در ستون آخر درصد انحراف بهترین جواب حاصله از هیوریستیک پیشنهادی از هیوریستیک مجموعه داده از دیگر الگوریتم‌ها تحت عنوان درصد بهبود برای هر مسئله زیر ستون آخر آمده است. در آخرین ردیف تعداد بهترین جواب‌هایی به دست آمده از هر هیوریستیک آورده شده است. اعداد پر رنگ شده در جدول نشان‌گر بهترین مقدار تابع هدف به دست آمده برای هر مسئله‌ی مورد نظر است.

الگوریتم پیشنهادی در کل ۳۲ مسئله بهترین جواب را به دست آورده است که در حالت ۶ دپارتمان با ۵ و ۱۰ دوره جواب‌های حاصله برابر با بهترین جواب‌های به دست آمده است، ولی در حالت ۱۵ دپارتمان جواب حاصل بهبود خوبی نسبت به دیگر روش‌ها داشته و در تمام موارد هزینه را کاهش داده است. این نشان می‌دهد که الگوریتم پیشنهادی عملکرد بسیار خوبی برای این مجموعه داده داشته است.

برای مجموعه داده ۲ پس از ۵ بار اجرای الگوریتم پیشنهادی با استراتژی تقویت و گسترش است و PTS هیوریستیک جست‌وجوی احتمالی است. در این جداول لکسن و انسکور (۱۹۹۳) الگوریتم صفحه‌ی برش<sup>۱۵</sup> (برش مسطح) (CP) را ارائه داده‌اند.<sup>[۲۱]</sup> کاکو و مازولا<sup>[۱۹۹۷]</sup> (۱۹۹۷) از الگوریتم جست‌وجوی ممنوع (TS-KM)، مکندها و شانگ<sup>[۲۰۰۵]</sup> (۲۰۰۵) از سیستم هیبریدی مورچگان استفاده کرده‌اند، و مکندها و همکاران<sup>[۲۰۰۵]</sup> (۲۰۰۵) نیز هیوریستیک SA را معرفی کرده‌اند. بهترین جواب حاصل از دیگر الگوریتم‌ها در زیر ستون بهترین جواب آمده است. در ستون آخر درصد انحراف بهترین جواب به دست آمده از هیوریستیک پیشنهادی از بهترین جواب یافت شده از ادبیات موضوع تحت عنوان درصد بهبود برای هر مسئله زیر ستون آخر آمده است. در آخرین ردیف تعداد بهترین جواب‌هایی به دست آمده از هر هیوریستیک آورده شده است. اعداد پر رنگ شده در جدول نشان‌گر بهترین مقدار تابع هدف به دست آمده برای هر مسئله‌ی آزمون شده است.

چنان‌که اعداد و ارقام در جدول ۴ نشان می‌دهند الگوریتم پیشنهادی برای ۱۶ مسئله بهترین جواب را در برداشته است، در حالی که سایر روش‌ها فقط توانسته‌اند

#### جدول ۱. اندازه‌ی لیست پویای ممنوع.

اندازه‌ی لیست پویای ممنوع	درصد کاهش هزینه‌ی کل $((PR(\pi))$
$\geq \beta$	$TL\beta = 2NT$
$a \leq PR(\pi) < \beta$	$UB$
$^{\circ} \leq PR(\pi) \leq a$	$LB + (UB - LB) * PR(\pi)/a$
$PR(\pi) < ^{\circ}$	مقدار $TLd$ در تکرار قبل

علاوه بر این از یک تابع جریمه برای جریمه‌کردن حرکات غیر بهبود دهنده استفاده می‌شود. به عبارت دیگر تابع جریمه برای حرکات تکراری ثبت شده در میثاث پایین آرایه‌ی ممنوع، مقدار جریمه‌ی برای حرکات غیر بهبود دهنده در نظر گرفته است. تابع جریمه به هزینه‌ی کل حرکات غیر بهبود دهنده اضافه می‌شود. اگر حرکتی بهبود دهنده باشد دیگر جریمه نمی‌شود. بنابراین تابع جریمه برای تعویض مکان دپارتمان  $i$  و  $k$  در دوره  $t$  چنین تعریف می‌شود.<sup>[۵]</sup>

$$p(t, i, k) =$$

$$\begin{cases} 0 & \Delta TC_{ik}(\pi^t) > ^{\circ} (TC(\pi') < TC(\pi)) \\ a * tabu[t][i][k] & \text{Otherwise} \end{cases}$$

در حالی که  $a$  پارامتر مقدار جریمه است. اگر بهترین حرکت قابل قبول یک حرکت بهبود دهنده باشد، تابع جریمه در نظر گرفته نمی‌شود و بالعکس.

#### ۵.۳. اندازه‌ی لیست پویای ممنوع

اندازه‌ی لیست پویای ممنوع (طول تابو)، استراتژی مبتنی بر حافظه‌ی نزدیک است که برای متنوع کردن فضای جست‌وجو به کار برده می‌شود. طول تابو پویا که با  $TL_d$  نشان داده می‌شود میان یک کران پایین ( $LB$ ) و یک کران بالا ( $UB$ ) متغیر است. مقدار تغییر آن از یک تکرار به تکرارهای دیگر بستگی به درصد کاهش هزینه‌ی کل بهترین جواب قابل قبول ( $TC(\pi'_{best})$  از جواب کنونی ( $TC(\pi)$ ) دارد. محاسبه درصد کاهش  $PR(\pi)$  چنین است:

$$PR(\pi) = [TC(\pi) - TC(\pi'_{best})] * \% / 100 / TC(\pi)$$

نحوه‌ی تنظیم  $TL_d$  به طور خلاصه در جدول ۱ ارائه شده است.

#### ۴. نتایج محاسباتی

تمامی محاسبات و مدل‌سازی الگوریتم ارائه شده با استفاده از نرم‌افزار متلب (نسخه ۷,۹)، و با رایانه‌ی شخصی مدل. ۲,۵GHz PC، Core(TM) ۲ Duo انجام شده است. الگوریتم پیشنهادی توسط دو مجموعه داده معروف موجود، به عنوان مسائل آزمایشی در ادبیات موضوع ارزیابی شده است. مجموعه داده اول توسط بلکریشنان و چنگ<sup>(۲۰۰۰)</sup> (۲۰۰۰) و مجموعه داده دوم توسط لکسن و انسکور (۱۹۹۳) توسیع داده شده است. اولین مجموعه داده که از بلکریشنان و چنگ گرفته شده است شامل مسائلی با اعداد ۶، ۱۵ و ۳۵ دپارتمان و دارای ۵ و ۱۰ دوره است. هر مسئله شامل ۸ مسئله‌ی آزمایشی است، و در نتیجه ۳۲ مسئله در این مجموعه وجود دارد. در این مجموعه مقدار هزینه‌ی بازاری بایزی دپارتمان‌ها برای هر دپارتمان متفاوت

چینش مؤثیریک تسهیل هزینه‌ی حمل و نقل مواد را  $10\%$  درصد کاهش می‌دهد در بی آنهم که با در نظر گرفتن تغییرات جریان مواد میان دپارتمان‌ها در طول دوره‌های زمانی متفاوت و عدم هم‌بushانی دپارتمان‌ها، مجموع هزینه‌ی جابه‌جایی و چیدمان مجدد کمیته شود. در این نوشتر از الگوریتم جستجوی منعنه با لیست پویای منعنه و استراتژی تنواع برای حل مسئله‌ی چیدمان پویای تسهیلات استفاده شده است. الگوریتم پیشنهادی با دو مجموعه داده معروف از ادبیات موضوع آزمایش شده و نتایج خوبی را داشته است. به عبارت دیگر، الگوریتم پیشنهادی توانسته برای مجموعه داده‌ی لکسمن و انسکور، برای  $26$  مسئله از  $32$  مسئله بهترین جواب را به دست آورد. این در حالی است که روش‌های دیگر در بهترین حالت برای  $16$  مسئله از  $32$  مسئله بهترین جواب را به دست آورده‌اند. از طرف دیگر برای مجموعه داده دوم آزمون شده رویکرد پیشنهادی برای تمام  $32$  مسئله بهترین جواب را به دست آورده است، درحالی که روش‌های دیگر فقط برای  $14$  مسئله از  $32$  مسئله بهترین جواب را به دست آورده‌اند؛ و این نشان‌گر عملکرد بسیار خوب الگوریتم است. در مجموع، درصد بهبود الگوریتم پیشنهادی برای مجموعه داده اول  $1/23$  و برای مجموعه داده دوم  $2/38$  بوده است.

برای  $8$  مسئله از این  $16$  مسئله بهترین جواب را به دست آورند. این نتایج نشان‌گر عملکرد خوب الگوریتم پیشنهادی است. الگوریتم پیشنهادی در جدول شماره  $5$  برای  $10$  مسئله از  $16$  مسئله بهترین جواب را به دست آورده است. برای  $6$  مسئله‌یی که الگوریتم مقدار بهینه را به دست نیاورده، مقدار انحراف آن از مقدار بهینه آن اندک است و نشان‌دهنده عملکرد خوب این الگوریتم است.

## ۵. نتیجه‌گیری

چینش تسهیلات تأثیر چشمگیری در کارایی حمل و نقل مواد در سیستم‌های تولیدی دارد و از همین رو برای تولیدکننده اهمیت زیادی دارد. چینش مؤثر تسهیل به بهبود سود و بهره‌وری می‌انجامد. علاوه بر این برآورد شده است که هزینه‌ی حمل و نقل مواد بین  $20$  تا  $50$  درصد هزینه کل عملیات را در بر می‌گیرد. از آنجا که برنامه‌ریزی

جدول ۲. جواب حاصل برای مسائل با  $6$  دپارتمان از مجموعه داده اول.

میانگین زمان	انحراف از بهترین جواب (%)	بهترین جواب حاصل	SA	HAS	GA	SA-EG	DP	PTS	TS All	TS basic	TS-NM	شماره مسئله	ابعاد	
													T	N
۸,۴۴۶	۰	۱۰۶۴۱۹	۱۰۶۴۱۹	۱۰۶۴۱۹	۱۰۶۴۱۹	۱۰۶۴۱۹	۱۰۶۴۱۹	۱۰۶۴۱۹	۱۰۶۴۱۹	۱۰۶۴۱۹	۱۰۶۴۱۹	۱۰۶۴۱۹	P <sub>۰</sub> ۱	
۱۱,۳۵۴	۰	۱۰۴,۸۳۴	۱۰۴,۸۳۴	۱۰۴,۸۳۴	۱۰۴,۸۳۴	۱۰۴,۸۳۴	۱۰۴,۸۳۴	۱۰۴,۸۳۴	۱۰۴,۸۳۴	۱۰۴,۸۳۴	۱۰۴,۸۳۴	۱۰۴,۸۳۴	P <sub>۰</sub> ۲	
۱۲,۷۶۶	۰	۱۰۴,۳۲۰	۱۰۴,۳۲۰	۱۰۴,۳۲۰	۱۰۴,۳۲۰	۱۰۴,۳۲۰	۱۰۴,۳۲۰	۱۰۴,۳۲۰	۱۰۴,۳۲۰	۱۰۴,۳۲۰	۱۰۴,۳۲۰	۱۰۴,۳۲۰	P <sub>۰</sub> ۳	
۹,۹۹۴	۰	۱۰۶,۳۹۹	۱۰۶,۳۹۹	۱۰۶,۳۹۹	۱۰۶,۳۹۹	۱۰۶,۳۹۹	۱۰۶,۳۹۹	۱۰۶,۳۹۹	۱۰۶,۳۹۹	۱۰۶,۳۹۹	۱۰۶,۳۹۹	۱۰۶,۳۹۹	P <sub>۰</sub> ۴	
۱۰,۴۵	۰	۱۰۵,۶۲۸	۱۰۵,۶۲۸	۱۰۵,۶۲۸	۱۰۵,۶۲۸	۱۰۵,۶۲۸	۱۰۵,۶۲۸	۱۰۵,۶۲۸	۱۰۵,۶۲۸	۱۰۵,۶۲۸	۱۰۵,۶۲۸	۱۰۵,۶۲۸	P <sub>۰</sub> ۵	۵
۹,۹۸۲	۰	۱۰۳,۹۸۵	۱۰۳,۹۸۵	۱۰۳,۹۸۵	۱۰۳,۹۸۵	۱۰۳,۹۸۵	۱۰۳,۹۸۵	۱۰۳,۹۸۵	۱۰۳,۹۸۵	۱۰۳,۹۸۵	۱۰۳,۹۸۵	۱۰۳,۹۸۵	P <sub>۰</sub> ۶	
۹,۴۷۴	۰	۱۰۶,۴۳۹	۱۰۶,۴۳۹	۱۰۶,۴۳۹	۱۰۶,۴۳۹	۱۰۶,۴۳۹	۱۰۶,۴۳۹	۱۰۶,۴۳۹	۱۰۶,۴۳۹	۱۰۶,۴۳۹	۱۰۶,۴۳۹	۱۰۶,۴۳۹	P <sub>۰</sub> ۷	
۱۰,۲۹۶	۰	۱۰۳,۷۷۱	۱۰۳,۷۷۱	۱۰۳,۷۷۱	۱۰۳,۷۷۱	۱۰۳,۷۷۱	۱۰۳,۷۷۱	۱۰۳,۷۷۱	۱۰۳,۷۷۱	۱۰۳,۷۷۱	۱۰۳,۷۷۱	۱۰۳,۷۷۱	P <sub>۰</sub> ۸	۶
۲۴,۹۱۶	۰	۲۱۴,۳۱۳	۲۱۴,۳۱۳	۲۱۴,۳۱۳	۲۱۴,۳۱۳	۲۱۴,۳۱۳	۲۱۴,۳۱۲	۲۱۴,۳۱۳	۲۱۴,۳۱۳	۲۱۴,۳۱۳	۲۱۴,۳۱۳	۲۱۴,۳۱۳	P <sub>۰</sub> ۹	
۲۰,۶۴۳۶	۰	۲۱۲۱۳۴	۲۱۲۱۳۴	۲۱۲۱۳۴	۲۱۲۱۳۴	۲۱۲۱۳۴	۲۱۲۱۳۴	۲۱۲۱۳۴	۲۱۲۱۳۴	۲۱۲۱۳۴	۲۱۲۱۳۴	۲۱۲۱۳۴	P <sub>۱۰</sub>	
۲۲,۰۱۲	۰	۲۰۷۹۸۷	۲۰۷۹۸۷	۲۰۷۹۸۷	۲۰۷۹۸۷	۲۰۷۹۸۷	۲۰۷۹۸۷	۲۰۷۹۸۷	۲۰۷۹۸۷	۲۰۷۹۸۷	۲۰۷۹۸۷	۲۰۷۹۸۷	P <sub>۱۱</sub>	
۲۲,۱۶۶	۰	۲۱۲,۵۳۰	۲۱۲,۵۳۰	۲۱۲,۵۳۰	۲۱۲,۵۳۰	۲۱۲,۷۴۱	۲۱۲,۷۴۷	۲۱۲,۷۴۱	۲۱۲,۵۳۰	۲۱۲,۵۳۰	۲۱۲,۵۳۰	۲۱۲,۵۳۰	P <sub>۱۲</sub>	۱۰
۲۰,۷	۰	۲۱۰,۹۰۶	۲۱۰,۹۰۶	۲۱۰,۹۰۶	۲۱۰,۹۰۶	۲۱۰,۹۴۴	۲۱۱,۰۷۲	۲۱۱,۰۲۲	۲۱۰,۹۰۶	۲۱۰,۹۰۶	۲۱۰,۹۰۶	۲۱۰,۹۰۶	P <sub>۱۳</sub>	
۲۵,۴۷۴	۰	۲۰۹,۹۳۲	۲۰۹,۹۳۲	۲۰۹,۹۳۲	۲۰۹,۹۳۲	۲۱۰,۰۰۰	۲۰۹,۹۳۲	۲۰۹,۹۳۲	۲۰۹,۹۳۲	۲۰۹,۹۳۲	۲۰۹,۹۳۲	۲۰۹,۹۳۲	P <sub>۱۴</sub>	
۲۲,۰۳۲	۰	۲۱۴,۲۵۲	۲۱۴,۲۵۲	۲۱۴,۲۵۲	۲۱۴,۲۵۲	۲۱۵,۴۵۲	۲۱۴,۴۲۸	۲۱۴,۲۵۲	۲۱۴,۲۵۲	۲۱۴,۲۵۲	۲۱۴,۲۵۲	۲۱۴,۲۵۲	P <sub>۱۵</sub>	
۱۹,۶۲	۰	۲۱۲,۵۸۸	۲۱۲,۵۸۸	۲۱۲,۵۸۸	۲۱۲,۵۸۸	۲۱۲,۵۸۸	۲۱۲,۵۸۸	۲۱۲,۵۸۸	۲۱۲,۵۸۸	۲۱۲,۵۸۸	۲۱۲,۵۸۸	۲۱۲,۵۸۸	P <sub>۱۶</sub>	

جدول ۳. جواب حاصل برای مسائل با ۱۵ دپارتمان از مجموعه داده اول.

میانگین زمان	انحراف از بهترین جواب حاصل (%)	بهترین جواب حاصل	SA	HAS	GA	SA-EG	DP	PTS	TSAll	TSbasic	TS-NM	ابعاد		
												شماره مسئله	T N	
۱۰۵,۷۷۴۲	۲,۷۱	۴۸۰, ۴۰۳	۴۸۰, ۴۰۳	۴۸۰, ۴۰۳	۴۸۰, ۰۹۰	۴۸۱, ۳۷۸	۴۸۲, ۱۲۳	۴۸۰, ۴۰۳	۴۸۰, ۴۰۳	۴۸۰, ۴۰۳	۴۶۷۷۸۸۵	P۱۷	۵	
۱۸۲,۰۹۶	۱,۶۵	۴۷۸, ۸۱۶	۴۸۴, ۷۶۱	۴۸۴, ۷۶۱	۴۸۰, ۳۰۲	۴۷۸, ۸۱۶	۴۸۰, ۷۰۲	۴۸۴, ۷۶۱	۴۸۴, ۷۶۱	۴۸۴, ۷۶۱	۴۷۱۰۴۴	P۱۸		
۱۴۱,۸۶۸	۲,۳۹	۴۸۷۸۸۶	۴۸۸, ۷۴۸	۴۸۸, ۷۴۸	۴۸۹, ۸۹۸	۴۷۷۸۸۶	۴۹۱, ۳۱۰	۴۸۹, ۲۶۵	۴۸۹, ۰۵۸	۴۸۹, ۳۲۵	۴۷۶۵۱۴	P۱۹		
۱۵۲,۰۸۸	۲,۳۴	۴۸۱, ۶۲۸	۴۸۴, ۴۰۵	۴۸۴, ۴۴۶	۴۸۴, ۶۲۵	۴۸۱, ۶۲۸	۴۸۶, ۸۵۱	۴۸۴, ۶۲۱	۴۸۴, ۴۴۶	۴۸۴, ۶۲۱	۴۷۰۵۹۴	P۲۰		
۱۱۴,۵۱۸	۲,۶۶	۴۸۴, ۱۷۷	۴۸۷, ۸۸۲	۴۸۷, ۷۲۲	۴۸۹, ۸۸۵	۴۸۴, ۱۷۷	۴۹۱, ۱۷۸	۴۸۷, ۷۵۳	۴۸۷, ۰۲۲	۴۸۷, ۸۲۲	۴۷۲۱۷۶,	P۲۱		
۱۴۹,۶۸۲	۲,۲۸	۴۸۲۳۲۲۱	۴۸۷, ۱۴۷	۴۸۶, ۶۸۵	۴۸۸, ۶۹۰	۴۸۲۳۲۲۱	۴۸۹, ۸۴۷	۴۸۶, ۴۹۳	۴۸۶, ۴۹۳	۴۸۶, ۴۹۳	۴۷۱۵۵۶	P۲۲		
۱۱۶,۲۵۸	۲,۵۸	۴۸۰, ۳۸۴	۴۸۷, ۱۴۷	۴۸۶, ۶۸۵	۴۸۸, ۶۹۰	۴۸۰, ۳۸۴	۴۸۹, ۱۵۵	۴۸۶, ۲۶۸	۴۸۶, ۲۶۸	۴۸۶, ۲۶۸	۴۷۳۱۶۷	P۲۳		
۱۲۰,۴۴۸۶	۲,۷۴	۴۸۹, ۰۷۲	۴۹۰, ۸۱۲	۴۹۱, ۰۱۶	۴۰۰, ۷۷۹	۴۸۹, ۰۷۲	۴۹۷, ۰۷۷	۴۹۰, ۰۵۱	۴۹۰, ۰۵۱	۴۹۰, ۰۵۱	۴۷۶۰۲۳	P۲۴		
۶۲۱,۲۸۸	۲,۷۷	۹۷۹, ۴۶۸	۹۷۹, ۴۶۸	۹۷۹, ۴۶۸	۹۸۰, ۳۵۱	۹۸۷, ۸۸۷	۹۸۲۲۹۸	۹۸۳, ۰۷۰	۹۸۰, ۹۰۶	۹۸۰, ۳۹۹	۹۸۳, ۰۶۱	۹۵۳۰۵۴	P۲۵	۱۰
۷۵۶,۸	۲,۱	۹۷۳, ۱۷۹	۹۷۸, ۰۶۵	۹۷۸, ۲۷۱	۹۸۰, ۶۳۸	۹۷۳, ۱۷۹	۹۸۳, ۸۲۶	۹۷۸, ۸۱۵	۹۷۷, ۳۹۹	۹۷۸, ۸۷۴	۹۵۳۱۲۶	P۲۶		
۶۶۹,۲۲۹۳	۲,۰۲	۹۷۸, ۰۲۷	۹۸۲, ۳۹۶	۹۷۸, ۰۲۷	۹۸۰, ۸۸۶	۹۸۰, ۳۶۴	۹۸۸, ۶۳۵	۹۸۳, ۸۹۸	۹۸۱, ۱۷۲	۹۸۲, ۹۴۴	۹۵۸۶۲۳	P۲۷		
۹۵۲,۳۳۸	۲,۸۷	۹۷۲, ۰۱۹	۹۷۲, ۷۹۷	۹۷۴, ۶۹۴	۹۷۶, ۰۲۵	۹۷۴, ۹۹۴	۹۷۶, ۴۵۶	۹۷۲, ۰۱۹	۹۷۲, ۰۱۹	۹۷۲, ۳۲۵	۹۴۴۹۱۴	P۲۸		
۷۲۸,۶۹۶	۲,۲۲	۹۷۰, ۴۹۸	۹۷۷, ۱۸۸	۹۷۹, ۱۹۶	۹۸۲, ۷۷۸	۹۷۵, ۴۹۸	۹۸۲, ۸۹۳	۹۷۷, ۵۳۴	۹۷۷, ۵۰۷	۹۷۸, ۰۳۳	۹۵۴۳۴۳۴	P۲۹		
۷۰۷,۶۱۸	۲,۳۹	۹۶۷, ۶۱۷	۹۶۷, ۶۱۷	۹۷۱, ۵۴۸	۹۷۳, ۹۱۲	۹۶۸, ۳۲۲	۹۷۴, ۴۳۶	۹۶۷, ۶۱۷	۹۷۰, ۰۸۰	۹۶۹, ۱۲۴	۹۴۵۰۵۶	P۳۰		
۷۶۲,۳۴۶	۲,۷	۹۷۸, ۶۸۱	۹۷۹, ۱۱۴	۹۸۰, ۷۵۲	۹۸۲, ۸۷۲	۹۷۷, ۴۱۰	۹۸۲, ۷۹۰	۹۷۹, ۵۱۳	۹۷۸, ۶۸۱	۹۷۹, ۸۸۱	۹۵۲۹۸۳	P۳۱		
۷۱۶,۰۱۸	۲,۰۸	۹۸۳, ۶۷۲	۹۸۳, ۶۷۲	۹۸۵, ۷۰۷	۹۸۷, ۷۸۹	۹۸۵, ۰۴۱	۹۸۸, ۵۸۴	۹۸۵, ۱۰۵	۹۸۴, ۱۷۷	۹۸۵, ۱۰۵	۹۵۴۲۷۸	P۳۲		

جدول ۴. جواب حاصل برای مسائل با ۱۲، ۱۲، ۶ دپارتمان از مجموعه داده دوم.

میانگین زمان	انحراف از بهترین جواب حاصل (%)	SA	HAS	TS-KM	CP	PTS	TSAll	TSbasic	TS-NM	ابعاد	
										شماره مسئله	T N
۱۰,۶۸۶	۰,۰۰	۲۶۷	۲۶۷	۲۶۷	۲۶۷	۲۶۷	۲۶۷	۲۶۷	۲۶۷	P ۰۱	۶
۶,۹۸۶	۰,۰۰	۲۶۰	۲۶۰	۲۶۰	۲۶۰	۲۶۰	۲۶۰	۲۶۰	۲۶۰	P ۰۲	
۷,۹۰۴	۱۵,۹۷	۲۶۳	۲۶۳	۲۶۳	۲۶۳	۲۶۳	۲۶۳	۲۶۳	۳۱۳	P ۰۳	
۸,۶۳۶	۱۹,۱۲	۲۹۹	۲۹۹	۲۹۹	۲۹۹	۲۹۹	۲۹۹	۲۹۹	۲۵۱	P ۰۴	
۹,۶۰۶	۹,۹۵	۴۴۲	۴۴۲	۴۴۲	۴۴۲	۴۴۲	۴۴۲	۴۴۲	۴۰۲	P ۰۵	
۱۱,۹۳	۵,۴۰	۵۸۶	۵۸۶	۵۸۶	۵۸۶	۵۸۶	۵۸۶	۵۸۶	۵۵۶	P ۰۶	
۱۰,۴۸۶	۰,۰۰	۴۲۴	۴۲۴	۴۲۴	۴۲۴	۴۲۴	۴۲۴	۴۲۴	۴۲۴	P ۰۷	
۱۱,۴۱	۰,۰۰	۴۲۸	۴۲۸	۴۲۸	۴۲۸	۴۲۸	۴۲۸	۴۲۸	۴۲۸	P ۰۸	
۱۶,۷۳۴	۰,۰۰	۱۶۲۴	۱۶۲۴	۱۶۲۴	۱۶۲۴	۱۶۲۴	۱۶۲۴	۱۶۲۴	۱۶۲۴	P ۰۹	۱۲
۱۴,۵۲	۰,۰۰	۱۹۷۳	۱۹۷۳	۱۹۷۳	۱۹۷۳	۱۹۷۳	۱۹۷۳	۱۹۷۳	۱۹۷۳	P ۱۰	
۱۲,۴۱۴	۶,۴۱	۱۶۶۱	۱۶۶۱	۱۶۶۱	۱۶۶۱	۱۶۶۱	۱۶۶۱	۱۶۶۱	۱۵۶۱	P ۱۱	
۱۶,۳۷۴	۴,۰۹	۲۰۹۷	۲۰۹۷	۲۰۹۷	۲۰۹۷	۲۰۹۷	۲۰۹۷	۲۰۹۷	۲۰۰۵	P ۱۲	
۲۶,۴	۱,۱۰	۲۹۳۰	۲۹۳۰	۲۹۳۰	۲۹۳۰	۲۹۳۰	۲۹۳۰	۲۹۳۰	۲۸۹۸	P ۱۳	۵
۳۵,۷۳۲	۱,۰۴	۳۷۰۱	۳۷۰۱	۳۷۰۱	۳۷۰۱	۳۷۰۱	۳۷۰۱	۳۷۰۱	۳۶۴۵	P ۱۴	
۲۵,۹۰۶	۰,۰۰	۲۷۵۶	۲۷۵۶	۲۷۵۶	۲۷۵۶	۲۷۵۶	۲۷۵۶	۲۷۵۶	۲۷۵۶	P ۱۵	
۲۹,۸۱	۰,۰۰	۳۳۶۴	۳۳۶۴	۳۳۶۴	۳۳۶۴	۳۳۶۴	۳۳۶۴	۳۳۶۴	۳۳۶۴	P ۱۶	

جدول ۵. جواب حاصل برای مسائل با ۳۰، ۲۰ دیارتنان از مجموعه داده دوم.

میانگین زمان	انحراف از بهترین جواب (%)	بهترین جواب حاصل	شماره مسئله								ابعاد	
			SA	HAS	TS-KM	CP	PTS	TSAll	TSbasic	TS-NM	T	N
۶۰,۲۵۲	۰,۰۰	۲۷۵۸	۲۷۵۸	۲۷۵۸	۲۷۵۸	۲۷۶۳	۲۷۵۸	۲۷۵۸	۲۷۵۸	۲۷۵۸	P۱۷	
۷۶,۶۱۴	۰,۰۰	۵۳۱۸	۵۳۱۸	۵۳۱۸	۵۳۱۸	۵۳۱۸	۵۳۱۸	۵۳۱۸	۵۳۱۸	۵۳۱۸	P۱۸	۳
۶۱,۳۹۸	۷,۱۳	۳۰۳۴	۳۰۳۴	۳۰۳۴	۳۰۵۶	۳۰۴۸	۳۰۳۴	۳۰۳۴	۳۰۳۴	۲۸۳۲	P۱۹	
۸۷,۵۱۸	۲,۳۵	۵۸۶۹	۵۸۷۳	۵۸۸۱	۵۹۰۳	۵۸۷۳	۵۸۶۹	۵۸۶۹	۵۸۷۳	۵۶۷۹	P۲۰	
۱۹۵,۷۲	۲,۶۴	۴۵۰۴	۴۵۰۴	۴۵۷۵	۴۶۰۵	۴۵۸۱	۴۵۰۴	۴۵۷۳	۴۵۰۴	۴۴۳۷	P۲۱	
۲۹۲,۲۹	۰,۱۸	۹۷۲۴	۹۷۲۴	۹۷۲۴	۹۷۴۶	۹۸۲۵	۹۷۳۶	۹۷۲۴	۹۷۲۴	۹۷۰۷	P۲۲	
۲۷۹,۰۴	-۰,۲۸	۴۶۰۴	۴۶۶۰	۴۶۵۴	۴۶۵۴	۴۶۰۴	۴۶۰۴	۴۶۷۵	۴۶۰۴	۴۶۶۷	P۲۳	۵
۳۲۲,۸۱	۰,۰۰	۸۹۷۹	۸۹۷۹	۸۹۷۹	۸۹۷۹	۸۹۸۵	۸۹۷۹	۸۹۷۹	۸۹۷۹	۸۹۷۹	P۲۴	
۴۲۸,۰۵	-۰,۶۵	۷۱۳۰	۷۱۳۰	۷۱۳۰	۷۱۳۰	۷۱۶۳	۷۱۳۰	۷۱۳۰	۷۱۲۱	۷۱۷۷	P۲۵	
۴۵۵,۳۰	-۰,۶۰	۱۴۴۷۸	۱۴۴۷۸	۱۴۴۷۸	۱۴۴۷۸	۱۴۵۸۲	۱۴۴۷۸	۱۴۴۸۷	۱۴۵۲۸	۱۴۵۶۶	P۲۶	
۵۱۹,۴۵	۱,۴۸	۸۰۴۹	۸۰۷۰	۸۰۶۶	۸۱۱۵	۸۰۶۶	۸۰۷۰	۸۰۴۹	۸۰۹۸	۷۹۳۲	P۲۷	
۳۶۴,۱۰	۰,۹۹	۱۴۹۰۱	۱۴۹۰۱	۱۴۹۲۵	۱۴۹۲۵	۱۴۹۹۰	۱۴۹۱۳	۱۴۹۰۸	۱۴۹۳۳	۱۴۷۵۵	P۲۸	
۲۴۰,۱,۶۵	۰,۰۸	۱۳۲۷۴	۱۳۲۷۴	۱۳۲۷۴	۱۳۶۰	۱۳۷۱۹	۱۳۲۷۹	۱۲۲۲۴	۱۳۳۹۶	۱۳۳۶۶	P۲۹	
۲۴۷۱,۷۸	-۰,۶۱	۲۵۴۲۸	۲۵۴۷۲	۲۵۵۲۱	۲۵۵۸۳	۲۶۰۲۷	۲۵۴۸۴	۲۵۴۲۸	۲۵۵۱۵	۲۵۵۸۵	P۳۰	
۱۴۴۱,۰۶	-۰,۷۸	۱۲۱۴۸	۱۲۱۷۰	۱۲۱۶۳	۱۲۱۶۳	۱۲۲۳۱	۱۲۱۴۸	۱۲۱۶۳	۱۲۱۶۳	۱۲۲۴۳	P۳۱	
۱۴۸۷,۲۱	-۰,۹۴	۲۴۲۰۰	۲۴۲۰۰	۲۴۲۰۰	۲۴۲۰۰	۲۴۴۰۹	۲۴۲۰۰	۲۴۲۸۳	۲۴۳۰۷	۲۴۴۳۰	P۳۲	

### پانوشت‌ها

- facility layout problem (FLP)
- static facility layout problem (SFLP)
- quadratic assignment problem (QAP)
- binary
- mixed integer linear programming (MILP)
- dynamic facility layout problem (DFLP)
- viable set
- penalty algorithm
- hybrid ant system
- Glover
- reversion
- frequency based memory
- penalty function
- dynamic tabu list
- cutting plane

### منابع (References)

- Bozorgi, N. and Abedzadeh, M. "Facility layout problem: Review", First National Congress of Industrial engineering, Hamedan (2010).
- Koopmans, T.C. and Beckmann, M.J. "Assignment problems and the location of economic activities", *Econometrica*, **25**, pp. 53-76 (1957).
- Mckendall Jr, A.R. and Shang, J. "Hybrid ant system for the dynamic facility layout problem", *Computers & Operations Research*, **33**, pp. 790-803 (2006).
- Balakrishnan, J. and Cheng, C.H. "Dynamic layout algorithm", *Omega, Int. J. Mgmt Sci*, **26**(4), pp. 507-521 (1997).
- Liu, W.H. "Tabu search heuristic for the dynamic facility layout problem", MS Dissertation, Department of Industrial and Management System Engineering, Morganton, West Virginia (2005).
- Kuppusamy, S. "Simulated annealing heuristic for the dynamic facility layout problem", MS Dissertation, Department of Industrial and Management System Engineering, Morganton, West Virginia (2001).
- Hakobyan, A. "Heuristic for dynamic facility layout problem with unequal area problem", PhD Dissertation, Department of Industrial and Management System Engineering, Morganton, West Virginia (2008).
- Shang, J. "Ant colony heuristic for the dynamic facility layout problem", MS Dissertation, Department of Industrial and Management System Engineering, Morganton, West Virginia (2002).
- Meller, R. and GAu, k. "The facility layout problem", *Journal of Manufacturing System*, **15**(5), pp. 351-366 (1996).
- Hillier, F.S. "Quantitative tools for plant layout analysis", *The Journal of Industrial Engineering*, **14**, pp. 33-40 (1963).
- Bazaraa, M.S. "Computerized layout design: A branch and bound approach", *AIIE Transactions*, **7**, pp. 432-438 (1975).
- Heragu, S.S. "Knowledge based approach to machine cell layout", *Computers & Industrial Engineering*, **17**, pp. 37-42 (1989).
- Kim, J.G. and Kim, Y.D. "Layout planning for facilities with fixed shapes and input and output points", *International Journal of Production Research*, **38**, pp. 4635-4653 (2000).

14. Montreuil, B. and Venkatadri, U. "Strategic interpolative design of dynamic manufacturing systems layouts", *Management Science*, **37**, pp. 682-694 (1991).
15. Yang, T. and Peters, B.A. "Flexible machine layout design for dynamic and uncertain production environment", *European Journal of Operational Research*, **108**, pp. 49-64 (1998).
16. Erel, E., Ghosh, J.B. and Simon, J.T., "New heuristic for the dynamic layout problem", *Journal of the Operational Research Society*, **54**, pp. 1275-1282 (2003).
17. Tate, D.E. and Smith, A.E. "A genetic approach to the quadratic assignment problem", *Computers and Operations Research*, **22**, pp. 73-83 (1995).
18. Dunker, T., Radons, G. and Westkämper, E. "A coevolutionary algorithm for a facility layout problem", *International Journal of Production Research*, **41**, pp. 3479-3500 (2003).
19. Wang, M.J., Hu, M.H. and Ku, M.Y. "A Solution to the unequal area facilities layout problem by genetic algorithm", *Computers in Industry*, **56**, pp. 207-220 (2005).
20. Skorin-Kapov, J. "Tabu search applied to the quadratic assignment problem", *ORSA Journal on Computing*, **2**(1), pp. 33-45 (1990).
21. Chiang, W. and Kouvelis, P. "An improved tabu search heuristic for solving facility layout design problems", *International Journal of Production Research*, **34**(9), pp. 2565-2585 (1996).
22. Chiang, W. and Chiang, C. "Intelligent local search strategies for solving facility layout problems with the quadratic assignment problem formulation", *European Journal of Operational Research*, **106**, pp. 457-488 (1998).
23. Kaku, B.K. and Mazzola, J.B. "A tabu-search heuristic for the dynamic plant layout problem", *Informs Journal on Computing*, **9**(4), pp. 374-384 (1997).
24. Scholz, D., Petrick, A. and Domschke, W. "A slicing tree and tabu search based heuristic for the unequal area facility layout problem", *European Journal of Operational Research*, **197**, pp. 166-178 (2009).
25. McKendall Jr, A.R. and Hakobyan, A. "Heuristic for the dynamic facility layout problem with unequal area departments", *European Journal of Operational Research*, **201**, pp. 171-182 (2010).
26. Heragu, S.S. and Alfa, A.S. "Experimental analysis of simulated annealing based algorithm for the layout problem", *European Journal of Operational Research*, **57**, PP. 190-202 (1991).
27. Baykasoglu, A. and Gindy, N.N.Z. "A simulated annealing algorithm for dynamic layout problem", *Computers & Operations Research*, **28**, pp. 1403-1426 (2001).
28. McKendall Jr, A.R., Shang, J. and Kuppusamy, S. "Simulated annealing heuristic for the dynamic facility layout problem", *Computer & Operational Research*, **33**, pp. 2431-2444 (2006).
29. Dong, M., Wu, Ch. and Hou, F. "Shortest path based simulated annealing algorithm for dynamic facility layout problem under dynamic business environment", *Expert System With Applications*, **36**, pp. 11221-11232 (2009).
30. Gambardella, L.M., Taillard, E.D. and Dorigo, M. "Ant colonies for the quadratic assignment problem", *Journal of Operational Research Society*, **50**, pp. 167-176 (1999).
31. Baykasoglu, A., Dereli, T. and Sabuncu, I. "An ant colony algorithm for solving budget constrained and unconstrained dynamic facility layout problems", *International Journal of Management Science*, **34**, pp. 385-396 (2006).
32. Komarudin Wong, K.Y. "Applying ant system for solving unequal area facility layout problems", *European Journal of Operational Research*, **202**, pp. 730-746 (2010).
33. Balakrishnan, J., Cheng, C.H., Conway, D.G. and Lau, C.M. "A hybrid genetic algorithm for the dynamic plant layout problem", *Production Economics*, **86**, pp. 107-120 (2003).
34. Lacksonen, T.A. and Enscore, E.E. "Quadratic assignment algorithms for the dynamic layout problems", *International Journal of Production Research*, **31**, pp. 503-517 (1993).